

Г.Э. Куликов, В.Т. Калайда

## Алгоритм высокочастотной фильтрации данных для лазерного спектрометра с ФПЗС-линейкой на основе вейвлет-преобразования с автоматическим выбором коэффициентов

Институт оптики атмосферы СО РАН, г. Томск

Поступила в редакцию 22.09.2004 г.

Описаны результаты, полученные при апробации адаптивного алгоритма подбора коэффициентов вейвлет-фильтрации данных, поступающих с фотоприемной ПЗС-линейки импульсного лазерного спектрометра. Показано, что применение фильтрации позволяет надежно выделить и зарегистрировать сигнал, полностью замаскированный собственными шумами приемной аппаратуры.

### Введение

Для исследования переизлучения молекулярных сред, возбуждаемых двухчастотным оптическим полем, и проверки гипотезы о генерации в молекулярной среде поля с большим моментом количества движения [1, 2] используется «бигармонический лазерный спектрометр» [3], структура которого представлена на рис. 1. Особенностью планируемого эксперимента по проверке гипотезы [2] является необходимость регистрации узкой линии переизлучения,

интенсивность которой не имеет надежных оценок. Регистрация спектра переизлучения производится многоэлементным фотоприемником – ФПЗС-линейкой ILX-511, так как применение фотоумножителя затруднено паразитной засветкой от линий излучения «накачки» и необходимостью наблюдать в течение импульса широкий спектральный интервал. Таким образом, в планируемом эксперименте важно добиваться максимально возможного выхода полезного сигнала с фотоприемной линейки.

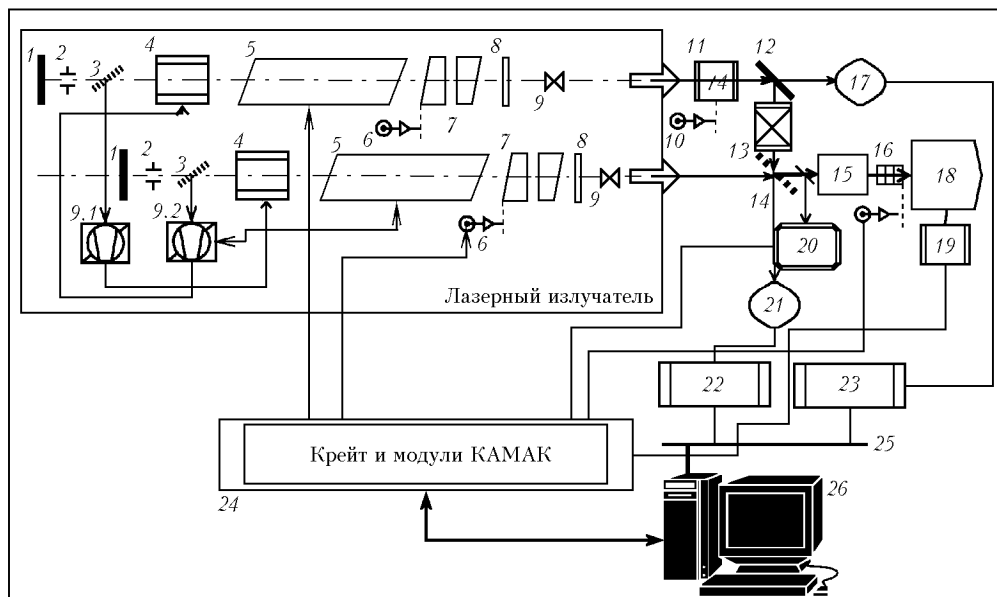


Рис. 1. Блок-схема спектрометра: 1 – глухое зеркало; 2 – диафрагма; 3 – поляризатор; 4 – ЭО-затвор; 5 – кванtron; 6, 7 – шаговый двигатель и эталон Фабри-Перо; 8 – выходное зеркало; 9.1, 9.2 – скоростные фотоприемники и устройство управления; 9 – удвоитель; 10 – шаговый двигатель; 11 – управляемая четвертьволновая пластинка; 12 – глухое зеркало; 13 – призма Грана; 14 – светоделитель; 15 – оптика и исследуемая среда; 16 – ИФП заграждающего фильтра; 17, 21 – скоростные фотоприемники; 18 – спектрограф ДФС-452 и ФПЗС-линейка; 19 – устройство управления; 20 – измеритель мощности излучения ИМО; 22, 23 – скоростные АЦП; 24 – крейт КАМАК и модули сбора данных и управления; 25 – локальная сеть стенда; 26 – управляющий компьютер и программное обеспечение

Пороговая чувствительность ФПЗС-приборов ограничивается не только величиной квантового выхода фотоприемной ячейки и тепловыми шумами, но и коммутационными шумами и помехами в контуре измерений [4]. Сигнал, получаемый с полностью затемненного фотоприемника, представляет собой суперпозицию гауссова шума с коммутационными помехами, обусловленными периодической структурой ячеек ФПЗС-линейки. То есть сигнал на выходе ФПЗС-регистратора можно описать выражением

$$s(t) = f(t) + \sigma(e(t) + \omega(t)),$$

где  $f(t)$  – полезный сигнал;  $\sigma$  – уровень шума;  $e(t)$  – гауссова компонента шумового сигнала;  $\omega(t)$  – периодическая компонента шумового сигнала, причем информация о помехе содержится в более высокочастотной области спектра сигнала, а полезная компонента – в низкочастотной.

Для редукции шумов измерения указанного типа традиционно используются алгоритмы сглаживания, основанные на преобразовании Фурье [5, 6]. Однако ограниченность длины набора данных (конечное число ячеек ФПЗС-линейки) и отсутствие формального алгоритма выбора оптимального окна преобразования затрудняют [6] их использование.

Одной из наиболее современных технологий сглаживания шума, свободной от недостатков традиционного подхода, основанного на преобразовании Фурье, является вейвлет-анализ [10].

В качестве вейвлета берутся непериодические, локализованные в пространстве функции, например функции, имеющие один или два близко расположенных глобальных экстремума и быстро затухающие на бесконечности. Минимальным требованием к таким функциям обычно является наличие одного нулевого момента, т.е. равенство нулю интеграла от функции по всей области определения. Распространенный пример вейвлета – вторая производная гауссиана (функция плотности нормального распределения), которая получила название «мексиканская шляпа».

Базисом векторного пространства является множество линейно независимых векторов, таких, что любой вектор из этого пространства может быть представлен в виде их линейной комбинации. Скалярное произведение сигнала с базисными векторами (функциями) рассматривается как *непрерывное вейвлет-преобразование*. Вейвлет-коэффициенты преобразования отражают близость сигнала к вейвлету данного масштаба.

В дискретном случае для анализа сигнала на разных масштабах используются фильтры с разными частотами среза. Сигнал пропускается через деревовидно соединенные низкочастотные (НЧ) и высокочастотные (ВЧ) фильтры.

Масштаб изменяется за счет фильтрации сигнала, а разрешение сигнала, являющееся мерой количества детальной информации, изменяется за счет децимации (удаления некоторых отсчетов, т.е. уменьшения частоты дискретизации) и интерполяции.

Сигнал пропускается через НЧ- и ВЧ-фильтры и децимируется в 2 раза. В результате на первом шаге временное разрешение уменьшается в 2 раза, так как сигнал характеризует только половину отсчетов. Однако частотное разрешение удваивается, так как сигнал занимает теперь половинную полосу частот и неопределенность уменьшается. Затем выход НЧ-фильтра подается на такую же схему, а выход ВЧ является вейвлет-коэффициентом.

Синтез сигнала выполняется в обратном порядке по сравнению с анализом. Сигнал на каждом уровне интерполируется и пропускается через фильтры синтеза НЧ и ВЧ (фильтры анализа и синтеза идентичны, за исключением обратного следования коэффициентов).

Технология вейвлет-преобразования, в отличие от преобразования Фурье, свободна от эффектов Гиббса и дает хорошие результаты на коротких последовательностях. Однако выбор оптимальных коэффициентов фильтрации для вейвлет-сглаживания – сложная и не вполне формализуемая процедура [8, 9].

Цель настоящей работы – применить адаптивный алгоритм выбора коэффициентов фильтрации и экспериментально исследовать эффективность выделения слабого полезного сигнала спектрометра, оборудованного ФПЗС-линейкой ILX-511, за счет применения средств сглаживания шума, основанных на вейвлет-преобразовании.

В рамках вейвлет-технологии сглаживание шума производится в 4 этапа:

- разложение сигнала по базису вейвлетов;
- выбор значения порога для каждого уровня разложения;
- отбрасывание коэффициентов детализации, лежащих ниже выбранного значения порога (трешолдинг);
- обратное вейвлет-преобразование (реконструкция сигнала).

Качество сглаживания шума непосредственно зависит от выбора глубины разложения, от которой зависит степень отбрасывания изменений сигнала, и порогового значения в процедуре трешолдинга [7–9]. Существует несколько критериев для выбора порога, тем не менее точное значение порога трешолдинга нужно уточнять экспериментально [9]. В данной работе предлагается адаптивный алгоритм автоматического подбора трешолдинга за счет сравнения результата шумоподавления с известным, образцовым, сигналом.

При подготовке к спектроскопическим измерениям с использованием дифракционного спектрометра можно зафиксировать какой-либо хорошо известный спектр и использовать известные, заведомо очищенные от шумов данные в качестве образцового сигнала. В настоящей работе порог  $\varepsilon$  подбирался путем итерационного увеличения значения  $\varepsilon$  и последующего сравнения очищенного шума сигнала от шума сигнала ФПЗС с положениями линий в спектре неона (область 530 нм, данные Атласа). Предлагается следующий алгоритм:

- 1) затемнить ФПЗС-линейку и записать «темновой» сигнал ФПЗС;

- 2) записать участок спектра свечения неоновой лампы ТН-0,5;
- 3) компенсировать неравномерность чувствительности ФПЗС по ячейкам вычитанием «темнового» сигнала;
- 4) усреднить «темновой» сигнал и использовать его в качестве значения порога для процедуры поиска пиков;
- 5) найти пики линий (п. 2), поставить в соответствие найденным пикам «идеальные» данные Атласа;
- 6) уменьшить световой сигнал на входе спектрометра так, чтобы процедура поиска центров линий возвращала «неудачу», но пики в сигналограмме были различимы;
- 7) произвести прямое и обратное дискретное вейвлет-преобразование темнового сигнала, с выбором начального значения трешолдинга по мягкому критерию [8, 9] так, чтобы среднее значение сглаженного сигнала равнялось нулю. Запомнить значение порога в качестве начального для п. 8;
- 8) в цикле производить прямое и обратное дискретное вейвлет-преобразование ослабленного сигнала выбранного участка спектра излучения неона.

На каждой итерации пропускать полученный сигнал через процедуру поиска пиков линий и сравнивать с данными Атласа. Повышать значение порога трешолдинга до тех пор, пока не будет пройден максимум совпадения с данными Атласа. Выйти из цикла с найденным оптимальным значением  $\epsilon$  (рис. 2).

Дискретное прямое и обратные вейвлет-преобразования производились лифтинговой процедурой, основанной на стандартном коде «LIFTPACK» [11]. Особенностью лифтинговой схемы является не только высокая скорость работы, но и применение так называемых «вейвлетов второго поколения», хорошо представляющих непериодические и импульсные сигналы. Оценка эффективности сглаживания шума производилась по следующей схеме: световой поток на входе спектрометра ослаблялся нейтральными светофильтрами НС-3 до тех пор, пока на выходе вейвлет-фильтра не переставали различаться линии неона. Об эффективности шумоподавления можно судить по тому, что для устраниния пиков линий с очищенного от шумов сигнала требуется более

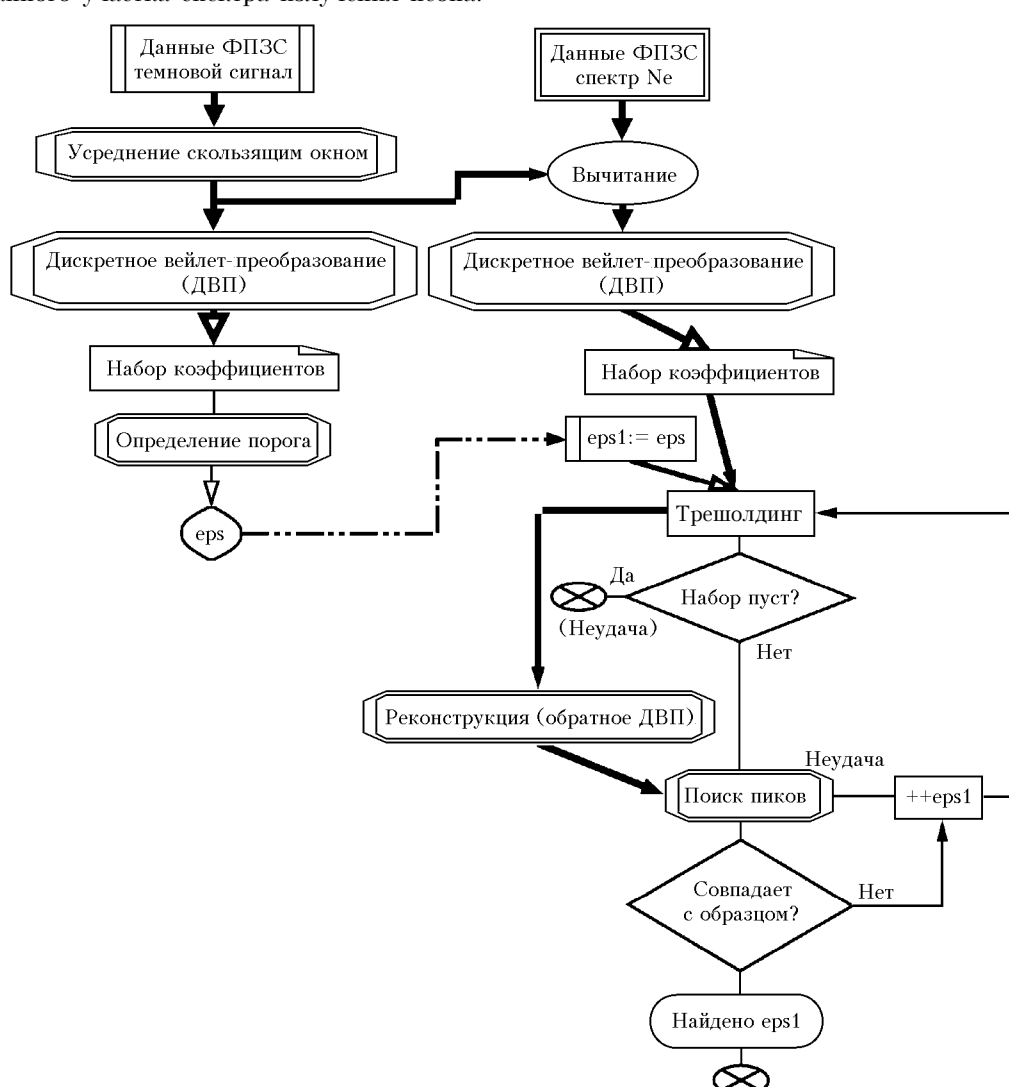


Рис. 2. Алгоритм выбора коэффициентов фильтрации

чем четырехкратное ослабление светового потока, тогда как с выключенной фильтрацией различимые пики совершенно исчезают уже при введении одного нейтрального стекла. На рис. 3 приведена запись ослабленного участка спектра свечения неоновой лампы ТН-0,5 при включеной и выключенной фильтрации, время экспозиции в обоих случаях одинаково и составляет 30 мс.

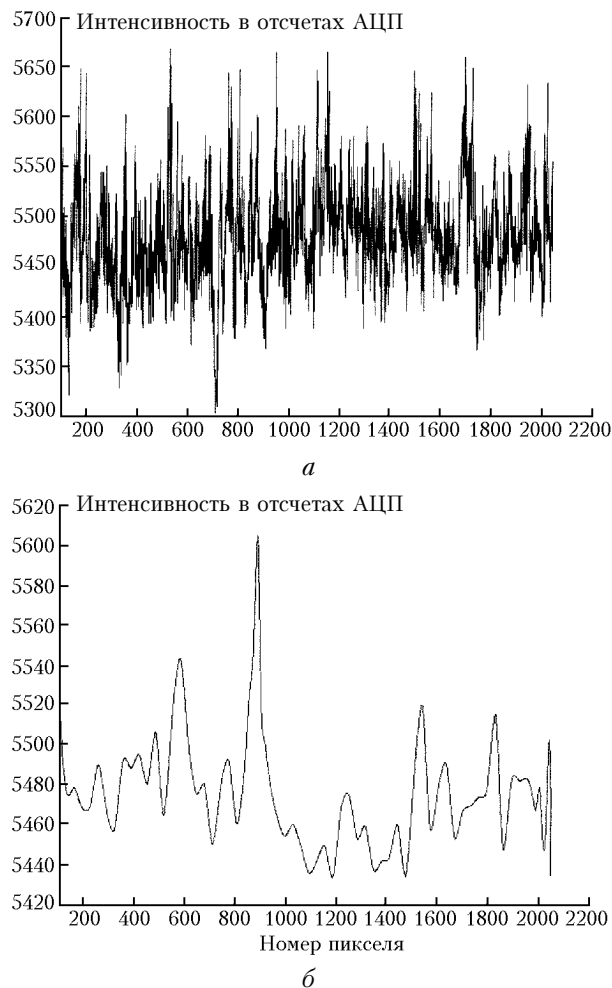


Рис. 3. Исходный (а) и отфильтрованный (б) слабые сигналы

Для сравнения на рис. 4 приведен результат фильтрации ослабленного сигнала участка спектра неона скользящим окном с последующим сглаживанием кубическим сплайном.

Процедура поиска пиков линий не определяет по этим данным правильно ни одной линии рассматриваемого участка спектра неона, тогда как обработка этой же процедурой данных, подвергавшихся вейвлет-фильтрации, дает две линии из четырех.

Видно, что использование вейвлет-фильтрации вполне оправданно в данном спектрометре.

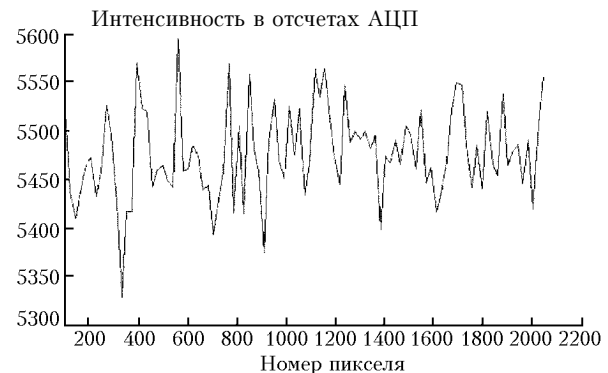


Рис. 4. Результат фильтрации предельно ослабленного сигнала скользящим окном

Процедура фильтрации была оформлена в виде модуля-фильтра данных автоматизированной системы сбора данных [13].

1. Творогов С.Д. Некоторые особенности электромагнитного поля с большим элементом количества движения // Изв. вузов. Физ. 1996. № 10. С. 93–102.
2. Лопасов В.П. О возможности приготовления молекулярного состояния для генерации поля с большим моментом количества движения // Оптика атмосф. и океана. 2000. Т. 13. № 5. С. 471–481.
3. Турков К.В., Куликов Т.Э., Лопасов В.П. Простой бихроматический лазерный излучатель // Оптика атмосф. и океана. 1995. Т. 8. № 6. С. 914–916.
4. Стенин В.Я. Применение микросхем с зарядовой связью. М.: Радио и связь, 1989. 256 с.
5. Бражник Л.Г. Уменьшение случайных погрешностей методом цифровой фильтрации // Ж. прикл. спектроскопии. 1985. Т. 43. № 4. С. 605–610.
6. Косарев Е.Л., Пантос Е. Оптимальное сглаживание данных с шумом, использующих быстрое преобразование Фурье. Деп. ВИНИТИ N 6916-84.
7. Дремин И.М., Иванов О.В., Нечитайло В.А. Вейвлеты и их использование // Успехи физ. наук. 2001. Т. 171. № 5. С. 465–501.
8. Donoho David L. De-Noising By Soft-Thresholding. Dep. of statistics, Standford University.
9. Еришов А.Д. Подавление шумовой компоненты лидарных сигналов на основе дискретного вейвлет-преобразования // Оптика атмосф. и океана. 2003. Т. 16. № 10. С. 933–939.
10. Чуу К. Введение в вейвлеты. М.: Мир, 2001. 412 с.
11. Fernández G., Periaswamy S. LIFTPACK: A Software Package for Wavelet Transforms using Lifting // Wavelet Application in Signal and Image: Proc. IV. 1996. P. 396–408 (<http://cm.bell-labs.com/who/wim/papers/spie96.pdf>).
12. Куликов В.Г., Лопасов В.П. Автоматизированная система сбора и обработки данных – ключевой блок бигармонического лазерного спектрометра // Оптика атмосф. и океана. 2002. Т. 15. № 11. С. 1012–1017.

*G.E. Kulikov, V.T. Kalaida. Algorithm of high-frequency filtering of data for laser spectrometer with a linear CCD array photodetector on the basis of wavelet transformation with automatic fitting of coefficients.*

The paper describes the results obtained when testing the adaptive algorithm for fitting of the coefficients of wavelet filtering of data from a linear CCD array photodetector of a pulsed laser spectrometer. It is shown that the application of filtering allows reliable detection and separation of a signal fully masked by the noise of the receiving system.

**Алгоритм высокочастотной фильтрации данных для лазерного спектрометра с ФПЗС-линейкой ...**

1049